

УДК 534.1

**УТОЧНЕННЫЕ МОДЕЛИ В ЗАДАЧАХ О РАСПРОСТРАНЕНИИ  
УПРУГИХ ВОЛН В СЛОИСТЫХ ЭЛЕМЕНТАХ КОНСТРУКЦИЙ**© Наталья Игоревна Архипова<sup>1</sup>, Владимир Иванович Ерофеев<sup>1,2</sup>,Владимир Михайлович Сандалов<sup>2</sup><sup>1</sup>ФГБУН Институт проблем машиностроения РАН, г. Нижний Новгород<sup>2</sup>ФГАОУВО Нижегородский государственный университет им. Н.И. Лобачевского  
г. Нижний Новгород[united-friends@bk.ru](mailto:united-friends@bk.ru), [erf04@sinn.ru](mailto:erf04@sinn.ru)

**Аннотация.** В статье показано, что уточненные (неклассические) стержневые модели могут быть применены для описания динамических процессов в слоистых элементах конструкций. Рассуждения проводятся на примере двухслойного стержня, совершающего продольные колебания.

**Ключевые слова:** стержень, уточненная модель, упругая волна, слоистая конструкция.

**MODEL SPECIFIED IN PROBLEMS ON THE PROPAGATION OF ELASTIC WAVES IN  
THE LAMINATED ELEMENT DESIGNS**© NI Arkhipova<sup>1</sup>, VI Erofeev<sup>1,2</sup>, VM Sandalov<sup>2</sup><sup>1</sup>Mechanical Engineering Research Institute of the Russian Academy of Sciences,<sup>2</sup>Lobachevsky State University of Nizhny Novgorog

**Abstract.** The article shows that sophisticated ( non-classical ) core models can be used to describe the dynamic processes in layered structural elements . Arguments are the example of a two-layer rod committing longitudinal vibrations .

**Keywords:** rod, improved model , the elastic wave, layered design .

**1. ВВЕДЕНИЕ**

Наряду с инженерными (классическими) моделями в динамике стержней существуют, так называемые, уточненные или неклассические модели [1]. Эти модели учитывают дополнительные факторы, влияющие на динамический процесс, или свободны от некоторых гипотез, принятых в инженерных теориях и ограничивающих область их применимости.

Классическую теорию Д. Бернулли, принятую при описании продольных колебаний стержня, обобщают модели Релея-Лява (учет кинетической энергии поперечных движений частиц стержня), Бишопа (учет еще и потенциальной энергии сдвиговых деформаций), Миндлина-Германа (свобода от гипотезы об одноосности деформированного состояния стержня) [2,3].

Уточненные модели применяют, как правило, при описании высокочастотных волновых процессов, когда длина волны становится сравнимой с диаметром поперечного сечения стержня и инженерные модели принципиально неприменимы. Однако в упомянутом частотном диапазоне следует учитывать многомодовость волнового процесса и предпочтение, чаще всего, отдается не уточненным стержневым моделям, а моделям твердотельных многомодовых волноводов – упругий слой (задача Лэмба) и толстостенный цилиндр (задача Похгаммера-Кри)[5,6].

В публикуемой работе показано, что уточненные стержневые модели могут быть применены для описания динамических процессов в слоистых элементах конструкций. Рассуждения проводятся на примерах двухслойного стержня, совершающего продольные колебания. Задачи рассмотрены в упругой, вязко-упругой и нелинейно-упругой постановках.

## 2. СОСТАВНОЙ СТЕРЖЕНЬ

В работе [7] рассматривается распространение одномерных продольных волн по составному (двухслойному) полубесконечному стержню. Составной (двухслойный) стержень представляет собой совокупность двух стержней, находящихся в контакте друг с другом. Сила контактного взаимодействия предполагается линейно-упругой. Считаем также, что в начальный момент времени на левый конец стержней действует импульс кинематического или силового происхождения, а правый конец свободен.

Движение стержней описывается системой уравнений [7]:

$$\begin{cases} E_1 S_1 \frac{\partial^2 u_1}{\partial x^2} = \rho_1 S_1 \frac{\partial^2 u_1}{\partial t^2} + R(u_1 - u_2), \\ E_2 S_2 \frac{\partial^2 u_2}{\partial x^2} = \rho_2 S_2 \frac{\partial^2 u_2}{\partial t^2} + R(u_2 - u_1), \end{cases} \quad (1)$$

где  $u_i$  – продольные перемещения стержней,  $E_i$ ,  $S_i$ ,  $\rho_i$  – их параметры (модули Юнга, площади поперечных сечений и плотности) ( $i=1,2$ ),  $R$ -сила упругого взаимодействия стержней. Система (1) может быть сведена к одному уравнению относительно перемещения  $u_1$ . Для этого достаточно выразить  $u_2$  из первого уравнения и подставить во второе уравнение системы. В результате получим:

$$\left(1 + \frac{\rho_1 S_1}{\rho_2 S_2}\right) \frac{\partial^2 u}{\partial t^2} - \left(C_2^2 + C_1^2 \frac{\rho_1 S_1}{\rho_2 S_2}\right) \frac{\partial^2 u}{\partial x^2} + \frac{\rho_1 S_1}{R} \left(\frac{\partial^4 u}{\partial t^4} - (C_2^2 + C_1^2) \frac{\partial^4 u}{\partial t^2 \partial x^2} + C_2^2 C_1^2 \frac{\partial^4 u}{\partial x^4}\right) = 0 \quad (2)$$

Здесь  $u = u_1(x, t)$ ,  $C_1 = \sqrt{\frac{E_1}{\rho_1}}$ ,  $C_2 = \sqrt{\frac{E_2}{\rho_2}}$  – скорости продольных волн в стержнях.

Заметим, что аналогичное уравнение может быть получено в модели Миндлина-Германа, описывающей продольные колебания стержня [2-4]:

$$\begin{cases} \frac{\partial^2 u}{\partial t^2} - C_1^2 \frac{\partial^2 u}{\partial x^2} - \kappa_2^2 \frac{2\lambda}{H\rho} \frac{\partial w}{\partial x} = 0, \\ \frac{\partial^2 w}{\partial t^2} - \kappa_1^2 C_\tau^2 \frac{\partial^2 w}{\partial x^2} + \kappa_2^2 \frac{8(\lambda + \mu)}{H^2 \rho} w + \kappa_2^2 \frac{4\lambda}{H\rho} \frac{\partial u}{\partial x} = 0. \end{cases} \quad (3)$$

Здесь  $u(x, t)$ ,  $w(x, t)$  – продольные и поперечные перемещения частиц стержня,  $H$  – толщина стержня,  $\rho$  – плотность материала,  $C_1 = \sqrt{\frac{\lambda + \mu}{\rho}}$ ,  $C_\tau = \sqrt{\frac{\mu}{\rho}}$  – скорости продольных и сдвиговых волн,  $\lambda, \mu$  – константы Ламэ,  $\kappa_1, \kappa_2$  – корректирующие коэффициенты, позволяющие увеличить частотный диапазон применимости модели. Система (3) сводится к одному уравнению относительно продольного смещения:

$$4\left(\frac{\lambda + \mu}{\lambda}\right)\frac{\partial^2 u}{\partial t^2} - 4\left(C_1^2 \frac{\lambda + \mu}{\lambda} - \frac{\kappa_2^2 \lambda}{\rho}\right)\frac{\partial^2 u}{\partial x^2} + \left(\frac{H^2 \rho}{2\kappa_2^2 \lambda}\left(\frac{\partial^4 u}{\partial t^4} - (C_1^2 + \kappa_1^2 C_\tau^2)\frac{\partial^4 u}{\partial t^2 \partial x^2} + C_1^2 \kappa_1^2 C_\tau^2 \frac{\partial^4 u}{\partial x^4}\right)\right) = 0 \quad (4)$$

Таким образом, продольные колебания составного стержня можно описать уравнением Миндлина-Германа продольных колебаний некоторого гипотетического стержня, параметры которого выражаются через параметры исходных стержней следующим образом:

$$\left\{ \begin{array}{l} 4\frac{\lambda + \mu}{\lambda} = 1 + \frac{\rho_1 S_1}{\rho_2 S_2}, \\ 4\left(C_1^2 \frac{\lambda + \mu}{\lambda} - \frac{\kappa_2^2 \lambda}{\rho}\right) = C_2^2 + C_1^2 \frac{\rho_1 S_1}{\rho_2 S_2}, \\ \frac{H^2 \rho}{2\kappa_2^2 \lambda} = \frac{\rho_1 S_1}{R}, \\ \frac{H^2 \rho}{2\kappa_2^2 \lambda} (C_1^2 + \kappa_1^2 C_\tau^2) = \frac{\rho_1 S_1}{R} (C_2^2 + C_1^2), \\ \frac{H^2 \rho}{2\kappa_2^2 \lambda} \kappa_1^2 C_\tau^2 C_1^2 = C_1^2 C_2^2 \frac{\rho_1 S_1}{R}. \end{array} \right. \quad (5)$$

Сведение к модели Миндлина-Германа возможно, если параметры составного стержня удовлетворяют условию  $\rho_1 S_1 > 3\rho_2 S_2$ , или (что тоже самое)  $\frac{h_1}{h_2} > 3 \frac{\rho_1}{\rho_2}$ , где  $h_{1,2}$  -

толщины стержней. Для совместности системы (5) необходимо также предположить равенство скоростей  $C_1 = C_1$ ,  $\kappa_1 C_\tau = C_2$  (или наоборот). В этом случае толщина

эквивалентного стержня выражается соотношением  $H = \sqrt{\frac{(C_1^2 - C_2^2)R}{2\rho_1 S_1}}$ , которая будет

увеличиваться с ростом силы упругого взаимодействия стержней по закону  $\sqrt{R}$  и уменьшаться как  $\frac{1}{\sqrt{\rho_1 S_1}}$  с ростом погонной плотности первого стержня. Корректирующие

коэффициенты в модели Миндлина-Германа связаны с параметрами исходных стержней

зависимостями  $\kappa_1^2 = 2 \frac{C_2^2 \rho_1 S_1 - \rho_2 S_2}{C_1^2 \rho_1 S_1 - 3\rho_2 S_2}$ ,  $\kappa_2^2 = \frac{C_1^2 - C_2^2}{8C_1^2} \frac{\rho_1 S_1 - \rho_2 S_2}{\rho_2 S_2}$ , что позволяет получить

выражение для скорости волн сдвига в виде:  $C_\tau = C_1 \sqrt{2 \frac{\rho_1 S_1 - 3\rho_2 S_2}{\rho_1 S_1 - \rho_2 S_2}}$ .

В частном случае, если считать плотность одного из стержней малой (пусть  $\rho_2 \rightarrow 0$ ), система уравнений (1) сводится к уравнению продольных колебаний стержня модели Бишопа:

$$\rho S \frac{\partial^2 u}{\partial t^2} - ES \frac{\partial^2 u}{\partial x^2} - \rho v^2 I_0 \frac{\partial^4 u}{\partial t^2 \partial x^2} + \mu v^2 I_0 \frac{\partial^4 u}{\partial x^4} = 0. \quad (6)$$

Здесь  $\nu$  - коэффициент Пуассона,  $I_0$  - полярный момент инерции, а параметры эквивалентного стержня с параметрами исходных стержней связаны соотношениями:

$$\begin{cases} \rho S = \rho_1 S_1 \\ ES = E_1 S_1 + E_2 S_2 \\ \rho \nu^2 I_0 = \frac{\rho_1 S_1 E_2 S_2}{R} \\ \mu \nu^2 I_0 = \frac{E_1 S_1 E_2 S_2}{R} \end{cases} \quad (7)$$

В этом случае параметры составного стержня должны удовлетворять условию  $\frac{E_2}{E_1} > \frac{S_1}{S_2}$ , а полярный радиус инерции и коэффициент Пуассона эквивалентного стержня определяются соотношениями  $r_p = \frac{2E_1 S_1}{E_2 S_2 - E_1 S_1} \sqrt{\frac{E_2 S_2}{R}}$ ,  $\nu = \frac{E_2 S_2 - E_1 S_1}{2E_1 S_1}$ . Скорости продольной и сдвиговой волн в стержне модели Бишопа выражаются через скорость продольной волны в исходном стержне  $C_0 = \sqrt{C_1^2 + \frac{E_2 S_2}{\rho_1 S_1}}$ ,  $C_\tau = C_1$ .

Известно (см., например, [6]), что энергия волн в диспергирующих системах переносится с групповой скоростью. Исследуем, сохраняется ли эта закономерность для слоистых элементов конструкций.

Система (1) может быть получена из вариационного принципа Гамильтона – Остроградского с помощью уравнений:

$$\begin{cases} \frac{\partial}{\partial t} \frac{\partial L}{\partial \left( \frac{\partial u_1}{\partial t} \right)} + \frac{\partial}{\partial x} \frac{\partial L}{\partial \left( \frac{\partial u_1}{\partial x} \right)} - \frac{\partial L}{\partial u_1} = 0, \\ \frac{\partial}{\partial t} \frac{\partial L}{\partial \left( \frac{\partial u_2}{\partial t} \right)} + \frac{\partial}{\partial x} \frac{\partial L}{\partial \left( \frac{\partial u_2}{\partial x} \right)} - \frac{\partial L}{\partial u_2} = 0. \end{cases} \quad (8)$$

Здесь лагранжиан  $L$  задается в виде:

$$L = \frac{\rho_1 S_1}{2} \left( \frac{\partial u_1}{\partial t} \right)^2 - \frac{E_1 S_1}{2} \left( \frac{\partial u_1}{\partial x} \right)^2 + \frac{\rho_2 S_2}{2} \left( \frac{\partial u_2}{\partial t} \right)^2 - \frac{E_2 S_2}{2} \left( \frac{\partial u_2}{\partial x} \right)^2 - \frac{R}{2} (u_1 - u_2)^2. \quad (9)$$

Уравнение переноса энергии (уравнение Умова-Пойнтинга), соответствующее (8), запишется в виде:

$$\frac{\partial W}{\partial t} + \frac{\partial S}{\partial x} = 0 \quad (10)$$

Здесь [3]

$$W = \left( \frac{\partial L}{\partial \left( \frac{\partial u_1}{\partial t} \right)} \left( \frac{\partial u_1}{\partial t} \right) + \frac{\partial L}{\partial \left( \frac{\partial u_2}{\partial t} \right)} \left( \frac{\partial u_2}{\partial t} \right) - L \right) \quad (11)$$

– плотность энергии;

$$S = \left( \frac{\partial L}{\partial \left( \frac{\partial u_1}{\partial x} \right)} \left( \frac{\partial u_1}{\partial x} \right) + \frac{\partial L}{\partial \left( \frac{\partial u_2}{\partial x} \right)} \left( \frac{\partial u_2}{\partial x} \right) \right) \quad (12)$$

– плотность потока энергии.

Для лагранжиана (9) явный вид выражений (11), (12) следующий:

$$W = \frac{\rho_1 S_1}{2} \left( \frac{\partial u_1}{\partial t} \right)^2 + \frac{E_1 S_1}{2} \left( \frac{\partial u_1}{\partial x} \right)^2 + \frac{\rho_2 S_2}{2} \left( \frac{\partial u_2}{\partial t} \right)^2 + \frac{E_2 S_2}{2} \left( \frac{\partial u_2}{\partial x} \right)^2 + \frac{R}{2} (u_1 - u_2)^2, \quad (13)$$

$$S = -E_1 S_1 \left( \frac{\partial u_1}{\partial x} \right) \left( \frac{\partial u_1}{\partial t} \right) - E_2 S_2 \left( \frac{\partial u_2}{\partial x} \right) \left( \frac{\partial u_2}{\partial t} \right). \quad (14)$$

Скорость переноса энергии волн введем как отношение:

$$v_{\text{эн}} = \frac{\langle S \rangle}{\langle W \rangle}, \quad (15)$$

где в числителе стоит среднее значение плотности потока энергии, а в знаменателе – среднее значение плотности энергии.

Перемещения  $u_1(x, t), u_2(x, t)$  считаем изменяющимися по закону бегущей гармонической волны:

$$u_1(x, t) = Ae^{i\theta} + A^* e^{-i\theta}, \quad u_2(x, t) = Be^{i\theta} + B^* e^{-i\theta}, \quad (16)$$

где  $A, B$  – комплексные амплитуды,  $A^*, B^*$  – их комплексно-сопряженные значения,  $\theta = \omega t - kx$  – фаза волны,  $\omega$  – круговая частота,  $k$  – волновое число.

Усреднение в (15) проведено по периоду изменения фазы гармонической волны

$$\langle S \rangle = \frac{1}{2\pi} \int_0^{2\pi} (S) d\theta, \quad \langle W \rangle = \frac{1}{2\pi} \int_0^{2\pi} (W) d\theta.$$

Скорость переноса энергии, вычисленная по формуле (15), описывается выражением

$$v_{\text{эн}} = \frac{2E_1 S_1 \omega k R^2 + 2E_2 S_2 \omega k (-\rho_1 S_1 \omega^2 + E_1 S_1 k^2 - R)^2}{R^2 (-\rho_1 S_1 \omega^2 + 3E_1 S_1 k^2 - R) + (\rho_2 S_2 \omega^2 + E_2 S_2 k^2 + R) (-\rho_1 S_1 \omega^2 + E_1 S_1 k^2 - R)^2}, \quad (17)$$

в котором учтена связь между комплексными амплитудами  $A$  и  $B$ :

$$B = -\frac{(-\rho_1 S_1 \omega^2 + E_1 S_1 k^2 - R)A}{R}, \quad (18)$$

Частота и волновое число связаны законом дисперсии:

$$\omega = \pm \frac{\sqrt{2}}{2} \sqrt{\frac{k^2 \frac{\rho_1 S_1}{R} (C_1^2 + C_2^2) + (1 + \frac{\rho_1 S_1}{\rho_2 S_2}) \pm \sqrt{k^4 \frac{\rho_1^2 S_1^2}{R^2} (C_1^2 - C_2^2)^2 + (1 + \frac{\rho_1 S_1}{\rho_2 S_2})^2 + 2k^2 \frac{\rho_1 S_1}{R} (C_1^2 - C_2^2) (1 - \frac{\rho_1 S_1}{\rho_2 S_2}) R}}{\rho_1 S_1}} \quad (19)$$

Это соотношение получается из (1) подстановкой решения в виде (16).

Групповую скорость  $v_{gp}$  определим, продифференцировав (19) по волновому числу. Она равна:

$$v_{gp} = \frac{\sqrt{2}}{4} \frac{\left( k \frac{\rho_1 S_1}{R} (C_1^2 + C_2^2) + \frac{2k^3 \frac{\rho_1^2 S_1^2}{R^2} (C_1^2 - C_2^2)^2 + \frac{2k \rho_1 S_1 (C_1^2 - C_2^2) (1 - \frac{\rho_1 S_1}{\rho_2 S_2})}{R}}{\sqrt{k^4 \frac{\rho_1^2 S_1^2}{R^2} (C_1^2 - C_2^2)^2 + (1 + \frac{\rho_1 S_1}{\rho_2 S_2})^2 + 2k^2 \frac{\rho_1 S_1}{R} (C_1^2 - C_2^2) (1 - \frac{\rho_1 S_1}{\rho_2 S_2})}} \right) R}{\sqrt{\left\{ k^2 \frac{\rho_1 S_1}{R} (C_1^2 + C_2^2) + (1 + \frac{\rho_1 S_1}{\rho_2 S_2}) + \sqrt{k^4 \frac{\rho_1^2 S_1^2}{R^2} (C_1^2 - C_2^2)^2 + (1 + \frac{\rho_1 S_1}{\rho_2 S_2})^2 + 2k^2 \frac{\rho_1 S_1}{R} (C_1^2 - C_2^2) (1 - \frac{\rho_1 S_1}{\rho_2 S_2}) \right\} R} \rho_1 S_1}} \quad (20)$$

Если частоту, входящую в (17), заменить волновым числом по формуле (19), то убедимся, что  $v_{эн} = v_{gp}$ .

Таким образом, показано, что энергия упругих волн и по слоистым элементам конструкций переносится с групповой скоростью.

### 3. ВЯЗКО-УПРУГИЙ СТЕРЖЕНЬ

Если в контакте действует как упругая сила, пропорциональная относительно перемещению, так и сила трения, пропорциональная относительной скорости перемещения частиц срединных линий стержней.

Движение стержней, согласно [8], описывается системой уравнений:

$$\begin{cases} E_1 S_1 \frac{\partial^2 u_1}{\partial x^2} = \rho_1 S_1 \frac{\partial^2 u_1}{\partial t^2} + R(u_1 - u_2) + R_1 \left( \frac{\partial u_1}{\partial t} - \frac{\partial u_2}{\partial t} \right), \\ E_2 S_2 \frac{\partial^2 u_2}{\partial x^2} = \rho_2 S_2 \frac{\partial^2 u_2}{\partial t^2} + R(u_2 - u_1) + R_1 \left( \frac{\partial u_2}{\partial t} - \frac{\partial u_1}{\partial t} \right), \end{cases} \quad (21)$$

где  $u_i$  – продольные перемещения частиц срединных линий стержней,  $E_i, S_i, \rho_i$  ( $i = 1, 2$ ) – их параметры (модули Юнга, площади поперечных сечений и плотности),  $R, R_1$  – коэффициенты упругого и вязкого взаимодействия стержней.

Система (21) может быть сведена к одному уравнению относительно перемещения одного из стержней, например  $u_1$ . Складывая оба уравнения системы (21), получаем связь в

виде:  $\rho_1 S_1 \frac{\partial^2 u_1}{\partial t^2} - E_1 S_1 \frac{\partial^2 u_1}{\partial x^2} = E_2 S_2 \frac{\partial^2 u_2}{\partial x^2} - \rho_2 S_2 \frac{\partial^2 u_2}{\partial t^2}$ . Выразим также из первого уравнения

$R u_2 + R_1 \frac{\partial u_2}{\partial t} = \rho_1 S_1 \frac{\partial^2 u_1}{\partial t^2} - E_1 S_1 \frac{\partial^2 u_1}{\partial x^2} + R u_1 + R_1 \frac{\partial u_1}{\partial t}$  и полученные соотношения

подставим во второе уравнение системы. В результате получается уравнение относительно  $u = u_1(x, t)$ :

$$\left(1 + \frac{\rho_1 S_1}{\rho_2 S_2}\right) \frac{\partial^2 u}{\partial t^2} - \left(C_2^2 + C_1^2 \frac{\rho_1 S_1}{\rho_2 S_2}\right) \frac{\partial^2 u}{\partial x^2} + \frac{\rho_1 S_1}{R} \left(\frac{\partial^4 u}{\partial t^4} - (C_2^2 + C_1^2) \frac{\partial^4 u}{\partial t^2 \partial x^2} + C_2^2 C_1^2 \frac{\partial^4 u}{\partial x^4}\right) + \frac{R_1}{R} \left(\left(1 + \frac{\rho_1 S_1}{\rho_2 S_2}\right) \frac{\partial^3 u}{\partial t^3} - \left(C_2^2 + C_1^2 \frac{\rho_1 S_1}{\rho_2 S_2}\right) \frac{\partial^3 u}{\partial t \partial x^2}\right) = 0. \quad (22)$$

Здесь  $\frac{R_1}{R}$  – коэффициент диссипации,  $u = u_1(x, t)$ ,  $C_1 = \sqrt{\frac{E_1}{\rho_1}}$ ,  $C_2 = \sqrt{\frac{E_2}{\rho_2}}$  – скорости продольных волн в стержнях.

Заметим, что продольные колебания составного стержня можно описать уравнением Миндлина-Германа продольных колебаний некоторого гипотетического стержня:

$$4\left(\frac{\lambda + \mu}{\lambda}\right) \frac{\partial^2 u}{\partial t^2} - 4\left(C_1^2 \frac{\lambda + \mu}{\lambda} - \frac{\kappa_2^2 \lambda}{\rho}\right) \frac{\partial^2 u}{\partial x^2} + \frac{H^2 \rho}{2\kappa_2^2 \lambda} \left(\frac{\partial^4 u}{\partial t^4} - (C_1^2 + \kappa_1^2 C_\tau^2) \frac{\partial^4 u}{\partial t^2 \partial x^2} + C_1^2 \kappa_1^2 C_\tau^2 \frac{\partial^4 u}{\partial x^4}\right) + \chi \left(4\left(\frac{\lambda + \mu}{\lambda}\right) \frac{\partial^3 u}{\partial t^3} - 4\left(C_1^2 \frac{\lambda + \mu}{\lambda} - \frac{\kappa_2^2 \lambda}{\rho}\right) \frac{\partial^3 u}{\partial t \partial x^2}\right) = 0. \quad (23)$$

Здесь  $u(x, t)$  – продольные перемещения частиц стержня,  $H$  – толщина стержня,  $\rho$  – плотность материала,  $C_1 = \sqrt{\frac{\lambda + \mu}{\rho}}$ ,  $C_\tau = \sqrt{\frac{\mu}{\rho}}$  – скорости продольных и сдвиговых волн,  $\lambda, \mu$  – константы Ламэ,  $\kappa_1, \kappa_2$  – корректирующие коэффициенты, позволяющие увеличить частотный диапазон применимости модели.

Параметры гипотетического стержня выражаются через параметры исходных стержней следующим образом:

$$\left\{ \begin{array}{l} 4 \frac{\lambda + \mu}{\lambda} = 1 + \frac{\rho_1 S_1}{\rho_2 S_2}, \\ 4 \left( C_1^2 \frac{\lambda + \mu}{\lambda} - \frac{\kappa_2^2 \lambda}{\rho} \right) = C_2^2 + C_1^2 \frac{\rho_1 S_1}{\rho_2 S_2}, \\ \frac{H^2 \rho}{2\kappa_2^2 \lambda} = \frac{\rho_1 S_1}{R}, \\ \frac{H^2 \rho}{2\kappa_2^2 \lambda} (C_1^2 + \kappa_1^2 C_\tau^2) = \frac{\rho_1 S_1}{R} (C_2^2 + C_1^2), \\ \frac{H^2 \rho}{2\kappa_2^2 \lambda} C_1^2 \kappa_1^2 C_\tau^2 = \frac{\rho_1 S_1}{R} C_2^2 C_1^2, \\ \chi = \frac{R_1}{R}, \\ \chi^4 \left( \frac{\lambda + \mu}{\lambda} \right) = \frac{R_1}{R} \left( 1 + \frac{\rho_1 S_1}{\rho_2 S_2} \right), \\ \chi^4 \left( C_1^2 \frac{\lambda + \mu}{\lambda} - \frac{\kappa_2^2 \lambda}{\rho} \right) = \frac{R_1}{R} \left( C_2^2 + C_1^2 \frac{\rho_1 S_1}{\rho_2 S_2} \right). \end{array} \right. \quad (24)$$

Для анализа дисперсионных и диссипативных свойств волн перейдем в уравнении (22) к безразмерным переменным  $t' = \frac{C_2^2 \rho_2 S_2 + C_1^2 \rho_1 S_1}{\rho_2 S_2 + \rho_1 S_1} \frac{t}{r}$ ,  $x' = \frac{x}{r}$ ,  $u' = \frac{u}{u_0}$ , где  $u_0$  - характерная

амплитуда волны,  $r = \sqrt{\frac{C_1^2 + C_2^2}{(\rho_2 S_2 + \rho_1 S_1)} \frac{\rho_1 S_1 \rho_2 S_2}{R}}$  - некоторый пространственный масштаб,

$\varphi = \frac{C_1^2 + C_2^2 (\rho_1 S_1)^2}{(\rho_2 S_2 + \rho_1 S_1) (C_1^2 + C_2^2)}$  В результате уравнение (24) принимает вид (штрихи над безразмерными переменными опущены):

$$\frac{\partial^2 u}{\partial t^2} - \frac{\partial^2 u}{\partial x^2} - \frac{\partial^4 u}{\partial t^2 \partial x^2} + d \frac{\partial^4 u}{\partial x^4} + \varphi \frac{\partial^4 u}{\partial t^4} + \delta \left( \frac{\partial^3 u}{\partial t^3} - \frac{\partial^3 u}{\partial t \partial x^2} \right) = 0. \quad (25)$$

В (25) входят два безразмерных параметра, один из них  $d = \frac{(\rho_2 S_2 + \rho_1 S_1) C_1^2 C_2^2}{(C_2^2 \rho_2 S_2 + C_1^2 \rho_1 S_1)^2 (C_2^2 + C_1^2)}$

определяет дисперсию, а  $\delta = \sqrt{\frac{C_2^2 \rho_2 S_2 + C_1^2 \rho_1 S_1}{(C_2^2 + C_1^2) \rho_2 S_2 \rho_1 S_1}} R_1$  - диссипацию. Для дисперсионного параметра легко получить оценку, если воспользоваться неравенством Коши между средним арифметическим и средним геометрическим ( $a + b > 2\sqrt{ab}$ , ( $a, b > 0, a \neq b$ )). Очевидно, что параметр дисперсии  $d < \frac{1}{2}$ , а наличие диссипации приводит к тому, частота и волновое число линейной волны связаны комплексным дисперсионным соотношением:

$$\omega^2 - k^2 + \omega^2 k^2 - dk^4 - \varphi \omega^4 + i\delta \omega^3 - i\delta \omega k^2 = 0. \quad (26)$$

Уравнение (26) является биквадратным относительно волнового числа  $k$ , разрешая которое, получим зависимость в виде:

$$k_{1,2} = \frac{1}{\sqrt{2d}} \left( \omega^2 - 1 - i\delta \omega \pm \sqrt{(\omega^2 - 1 - i\delta \omega)^2 - 4\varphi d \omega^4 + 4i\delta d \omega^3 + 4d \omega^2} \right)^{\frac{1}{2}}. \quad (27)$$

Из (27) видно, что волновое число является комплексным  $k = k' + ik''$ , где  $k' = \text{Re}(k)$ ,  $k'' = \text{Im}(k)$ . Это означает, что волна имеет постоянную распространения  $k'$  и затухает по экспоненциальному закону с коэффициентом затухания  $k''$ .

На дисперсионной плоскости  $(\omega, k')$ , где  $k'$  - действительная часть комплексного волнового числа  $k$ , существуют две дисперсионные ветви, выходящие из начала координат. При этом одна ветвь в низкочастотном диапазоне приближается к прямой

$$\omega = k', \text{ а в высокочастотном - выходит на асимптоту } \omega = \sqrt{\frac{k'(k'+1) - \sqrt{(k')^2(1+4d)} - 4\varphi}{2\varphi}}.$$

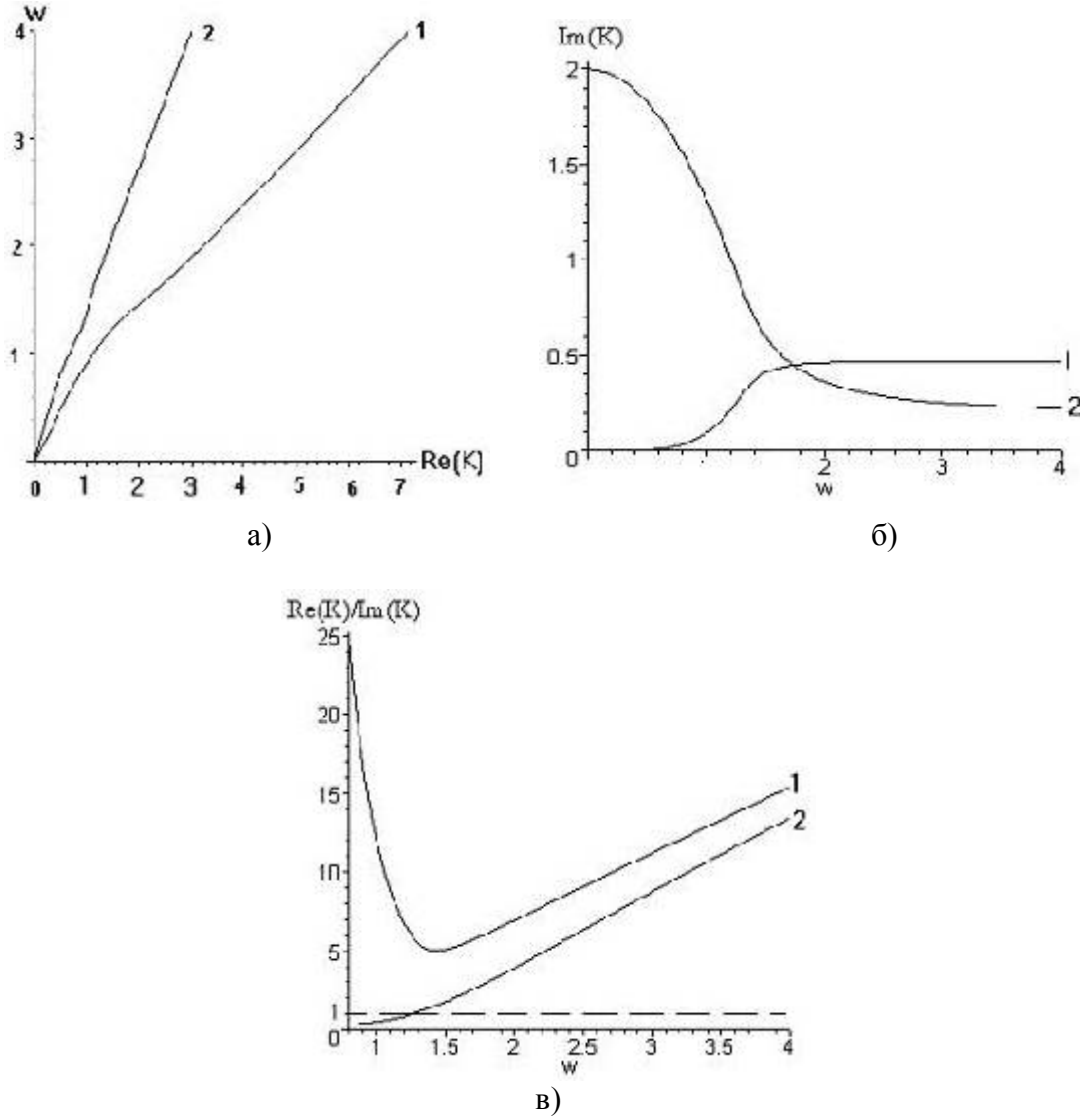
Вторая ветвь выходит из начала координат по прямой  $\omega = \frac{2\sqrt{d}}{\delta} k'$ , угол наклона которой



уменьшается с ростом коэффициента диссипации  $\delta$ . В высокочастотном диапазоне эта

ветвь приближается к асимптоте  $\omega = \sqrt{\frac{k'(k'+1) + \sqrt{(k')^2(1+4d) - 4\varphi}}{2\varphi}}$ , не зависящей от  $\delta$ .

Качественный вид дисперсионных зависимостей  $\omega(k')$  приведен на рис. 1а при  $d = 0,25; \delta = 0,1; \varphi = 0,5$ .



**Рис. 1.** Дисперсионные характеристики вязко-упругой среды:

а – зависимость частоты от действительной части волнового числа; б – частотная зависимость мнимой части волнового числа; в – частотная зависимость отношения действительной части волнового числа к мнимой

На рис. 1б приведены зависимости мнимых частей  $k''$  волнового числа  $k$  от частоты  $\omega$ . На плоскости  $(k'', \omega)$  также имеются две ветви, одна из которых выходит из начала координат и

с увеличением частоты приближается к горизонтальной асимптоте  $k'' = \frac{\delta(1-p^2)}{2p(2dp^2-1)}$ , где

$p = \frac{\sqrt{2\varphi}}{\sqrt{k'(k'+1) + \sqrt{(k')^2(1+4d) - 4\varphi}}}$ . Вторая ветвь  $k''$  выходит из точки  $\omega = 0, k'' = \frac{1}{\sqrt{\delta}}$  и убывает

с ростом частоты, приближаясь к горизонтальной асимптоте  $k'' = \frac{\delta(1-p_1^2)}{2p_1(2dp_1^2-1)}$ , где

$$p_1 = \frac{\sqrt{2\varphi}}{\sqrt{k'(k'+1) - \sqrt{(k')^2(1+4d) - 4\varphi}}}. \text{ Таким образом, в низкочастотном диапазоне коэффициент}$$

затухания  $k''$  зависит от частоты волны, а в высокочастотном диапазоне затухание становится частотно-независимым, так как в этом случае усиливается влияние дисперсионных эффектов.

На рис.1в приведены частотные зависимости отношения  $\text{Re}(k)/\text{Im}(k)$ . Неравенству  $\frac{\text{Re}(k)}{\text{Im}(k)} > 1$  соответствуют области частот, где процесс распространения волны преобладает над процессом ее затухания.

В частном случае, при  $\delta = 0$  из (27) получаем решение дисперсионного уравнения :

$$k_{1,2} = \frac{1}{\sqrt{2d}} \left( \omega^2 - 1 \pm \sqrt{(\omega^2 - 1)^2 - 4\varphi d \omega^4 + 4d\omega^2} \right)^{\frac{1}{2}}. \quad (28)$$

В этом случае на дисперсионной плоскости  $(\omega, k)$  существуют две дисперсионные ветви, одна из которых выходит из начала координат и имеет асимптоту  $\omega = k$  в низкочастотном диапазоне, а при больших частотах выходит на асимптоту

$$\omega = \sqrt{\frac{k(k+1) - \sqrt{k^2(1+4d) - 4\varphi}}{2\varphi}} \quad (\text{рис.2}).$$

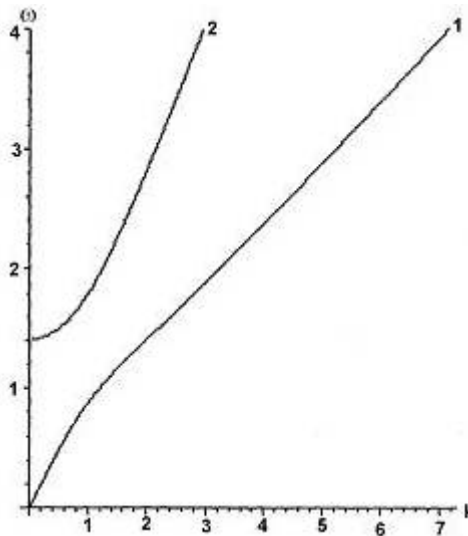


Рис. 2. Дисперсионные характеристики упругой среды

Вторая дисперсионная ветвь появляется при частотах  $\omega \geq \sqrt{2}$ , что соответствует в размерных переменных значению  $\omega \geq 2\sqrt{\frac{\alpha}{I}}$ . В высокочастотном диапазоне асимптотическое решение

$$\text{имеет вид: } \omega = \sqrt{\frac{k(k+1) + \sqrt{k^2(1+4d) - 4\varphi}}{2\varphi}}.$$

Сравнение дисперсионных зависимостей в обоих случаях показывает, что диссипация оказывает влияние на дисперсионные свойства волн только в низкочастотном диапазоне. В высокочастотном диапазоне диссипация не проявляется, так как дисперсионные ветви при  $\delta = 0$  и при  $\delta \neq 0$  выходят на одинаковые асимптоты.

Таким образом, на примере двухслойного стержня, совершающего продольные колебания, показано, что уточненная стержневая модель Миндлина-Германа может быть применена для описания динамических процессов в слоистых вязко-упругих элементах конструкций.

#### 4. НЕЛИНЕЙНО-УПРУГИЙ СТЕРЖЕНЬ

Если в каждом из стержней учесть геометрическую и физическую нелинейности, то динамика системы будет описываться уравнениями:

$$\begin{cases} E_1 S_1 \left( 1 + \alpha_1 \frac{\partial u_1}{\partial x} \right) \frac{\partial^2 u_1}{\partial x^2} = \rho_1 S_1 \frac{\partial^2 u_1}{\partial t^2} + R(u_1 - u_2) \\ E_2 S_2 \left( 1 + \alpha_2 \frac{\partial u_2}{\partial x} \right) \frac{\partial^2 u_2}{\partial x^2} = \rho_2 S_2 \frac{\partial^2 u_2}{\partial t^2} + R(u_2 - u_1) \end{cases} \quad (29)$$

где  $u_i$  – продольные перемещения стержней,  $E_i, S_i, \rho_i$  - их параметры (модули Юнга, площади поперечных сечений и плотности) ( $i=1,2$ ),  $R$  – коэффициент, характеризующий силу упругого взаимодействия стержней,  $\alpha_{1,2}$  - коэффициенты, характеризующие их геометрические и физические нелинейности.

Система (29) может быть сведена к одному уравнению. Действительно, введём безразмерные переменные

$$U = \frac{u}{u_0}; \quad y = \frac{x}{X}; \quad \tau = \frac{t}{T}; \quad \gamma = 1 + \frac{\rho_1 S_1}{\rho_2 S_2},$$

обозначения

$$D = C_2^2 + C_1^2 \frac{\rho_1 S_1}{\rho_2 S_2}; \quad X = \Lambda; \quad T^2 = \frac{\Lambda^2 \gamma}{D},$$

где  $u_0$  – перемещение,  $\Lambda$  – длина волны, удовлетворяющие соотношению  $u_0 / \Lambda = 10^{-4}$ ,  $T$  – период волны

и пренебрегая величинами, в которых степень отношения  $u_0 / \Lambda$  выше 3, получим:

$$\begin{aligned} & \frac{\partial^2 U}{\partial \tau^2} - \frac{\partial^2 U}{\partial y^2} + \frac{\rho_1 S_1 D}{R \gamma^2 \Lambda^2} \frac{\partial^4 U}{\partial \tau^4} - \frac{\rho_1 S_1 (C_2^2 + C_1^2)}{R \gamma \Lambda^2} \frac{\partial^4 U}{\partial y^2 \partial \tau^2} + \frac{\rho_1 S_1 C_2^2 C_1^2}{R \Lambda^2 D} \frac{\partial^4 U}{\partial y^4} - \\ & \frac{\left( C_2^2 \alpha_2 + C_1^2 \alpha_1 \frac{\rho_1 S_1}{\rho_2 S_2} \right) u_0}{D} \frac{\partial U}{\partial y} \frac{\partial^2 U}{\partial y^2} = 0 \end{aligned} \quad (30)$$

Здесь:  $C_1 = \sqrt{\frac{E_1}{\rho_1}}$ ,  $C_2 = \sqrt{\frac{E_2}{\rho_2}}$  – скорости продольных волн в стержнях.

Решение уравнения (30) будем искать в классе стационарных волн, то есть в виде функции  $U=U(y-v\tau)$ , зависящей от  $y-v\tau=\xi$ , где  $v=\text{const}$  – скорость стационарной волны.

Уравнение в частных производных (30) сведется в этом случае к уравнению ангармонического осциллятора относительно продольной деформации  $\frac{dU}{d\xi} = w$  :

$$\frac{d^2 w}{d\xi^2} + aw + bw^2 = 0, \quad (31)$$

где

$$a = \frac{v^2 - 1}{B};$$

$$b = -\frac{1}{2} \frac{C_2^2 \alpha_2 + C_1^2 \alpha_1 \frac{\rho_1 S_1}{\rho_2 S_2} \frac{u_0}{\Lambda}}{BD},$$

$$B = \frac{\rho_1 S_1 D}{R \gamma^2 \Lambda^2} v^4 - \frac{\rho_1 S_1 (C_2^2 + C_1^2)}{R \gamma \Lambda^2} v^2 + \frac{\rho_1 S_1 C_2^2 C_1^2}{R D \Lambda^2}.$$

Заметим, что корни уравнения  $B=0$  имеют вид:

$$v_1^2 = \frac{C_2^2 \gamma}{D}; v_2^2 = \frac{C_1^2 \gamma}{D}. \text{ Они, в частности, могут удовлетворять условию } \frac{C_2^2 \gamma}{D} = 5 - 4 \frac{C_1^2 \gamma}{D}$$

определенности считаем, что  $C_1 > C_2$ ). В этом случае  $0 < \frac{C_2^2 \gamma}{D} < 1$ ;  $1 < \frac{C_1^2 \gamma}{D} < \frac{5}{4}$ , тогда

$$0 < v_1^2 < 1; 1 < v_2^2 < \frac{5}{4}.$$

Также определим знаки корней: между корней(-):  $\frac{C_2^2 \gamma}{D} < v^2 < \frac{C_1^2 \gamma}{D}$ ; вне корней(+):

$$v^2 > \frac{C_1^2 \gamma}{D}, v^2 < \frac{C_2^2 \gamma}{D}.$$

Анализ (31) показывает, что частными решениями уравнения (30) являются нелинейные уединенные стационарные волны (солитоны).

В первом случае  $a < 0$ ,  $b > 0$  и солитон имеет положительную полярность. Амплитуда солитона  $A_c$  и его ширина  $\Delta$  описываются выражениями:

$$A_c = \frac{3(v^2 - 1)D}{(C_2^2 \alpha_2 + C_1^2 \alpha_1 \frac{\rho_1 S_1}{\rho_2 S_2}) \frac{u_0}{\Lambda}}; \quad \Delta = \frac{2}{\sqrt{\frac{v^2 - 1}{B}}}$$

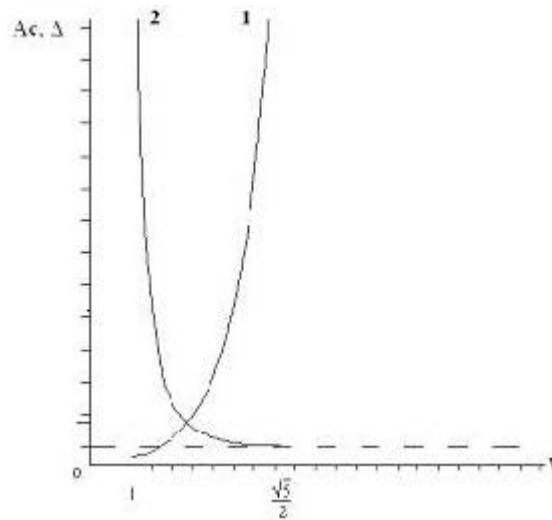
На рис.3 приведены зависимости амплитуды и ширины солитона от его скорости.

В данном случае с ростом скорости уединенной стационарной волны ее амплитуда возрастает, а ширина уменьшается. Такое поведение характерно для классического солитона [9].

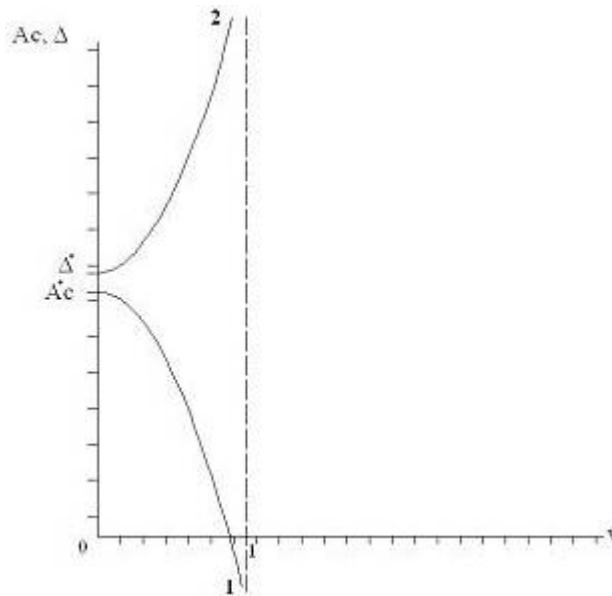
Во втором случае  $a < 0$ ,  $b < 0$  и солитон имеет отрицательную полярность. Его амплитуда и ширина описываются выражениями:

$$A_c = \frac{3(1 - v^2)D}{(C_2^2 \alpha_2 + C_1^2 \alpha_1 \frac{\rho_1 S_1}{\rho_2 S_2}) \frac{u_0}{\gamma \Lambda}}; \quad \Delta = \frac{2}{\sqrt{\frac{1 - v^2}{B}}}$$

Зависимости амплитуды и ширины солитона от его скорости приведены на рис.4.



**Рис. 3.** Зависимость амплитуды (кривая 1) и ширины (кривая 2) солитона положительной полярности от его скорости.



**Рис. 4** Зависимость амплитуды (кривая 1) и ширины (кривая 2) солитона отрицательной полярности от его скорости.

Здесь  $A_c^* = \frac{3D}{(C_2^2\alpha_2 + C_1^2\alpha_1) \frac{\rho_1 S_1}{\rho_2 S_2} \frac{u_0}{\gamma \Lambda}}$ ;  $\Delta^* = \frac{2}{\sqrt{\frac{RD\Lambda^2}{\rho_1 S_1 C_2^2 C_1^2}}}$

В этом случае с ростом скорости уединенной стационарной волны одновременно увеличивается и ее амплитуда, и ширина. Такое поведение не характерно для классического солитона и является аномальным.

Таким образом, в работе показано, что в составном нелинейно-упругом стержне могут формироваться локализованные волны (солитоны) деформации, имеющие как отрицательную, так и положительную полярность.

*Работа выполнялась при поддержке Российского научного фонда (грант № 14-19-01637).*

**Список литературы**

1. Григолюк Э.И., Селезов И.Т. Неклассические теории стержней, пластин и оболочек. М.: ВИНТИ, 1973. 272 с.
2. Артоболовский И.И., Бобровницкий Ю.И., Генкин М.Д. Введение в акустическую динамику машин. М.: Наука, 1979. 296 с.
3. Ерофеев В.И., Кажаяев В.В., Семерикова Н.П. Волны в стержнях. Дисперсия. Диссипация. Нелинейность. М.: Наука, Физматлит. 2002. 208 с.
4. Вибрации в технике: Справочник в 6-ти томах/ Ред. совет: К.В. Фролов (пред.) – М.: Машиностроение. Т1: Колебания линейных систем. 2-е изд., испр. И доп./ Под ред. В.В. Болотина. 1999. 504с.
5. Новацкий В. Теория упругости. М.: Мир, 1975. 872 с.
6. Гринченко В.Т., Мелешко В.В. Гармонические колебания и волны в упругих телах. Киев: Наукова думка, 1981. 284 с.
7. Товстик П.Е., Товстик Т.П. Распространение волн по составному стержню // Волновая динамика машин и конструкций. Материалы Всероссийской конференции, посвященной памяти А.И. Весницкого. Н.Новгород: Изд. «ТИРАСП», 2004. С.110.
8. Товстик Т.П. Распространение продольных волн по двухслойному стержню // Моделирование динамических систем: сборник научных трудов. Н.Новгород: Изд-во «Интелсервис». 2011. с.91-98.
9. Ерофеев В.И., Ключева Н.В. Солитоны и нелинейные периодические волны деформации в стержнях, пластинах и оболочках (обзор)// Акустический журнал. 2002. Т.48, № 6. С.725-740.